

FIG. 2

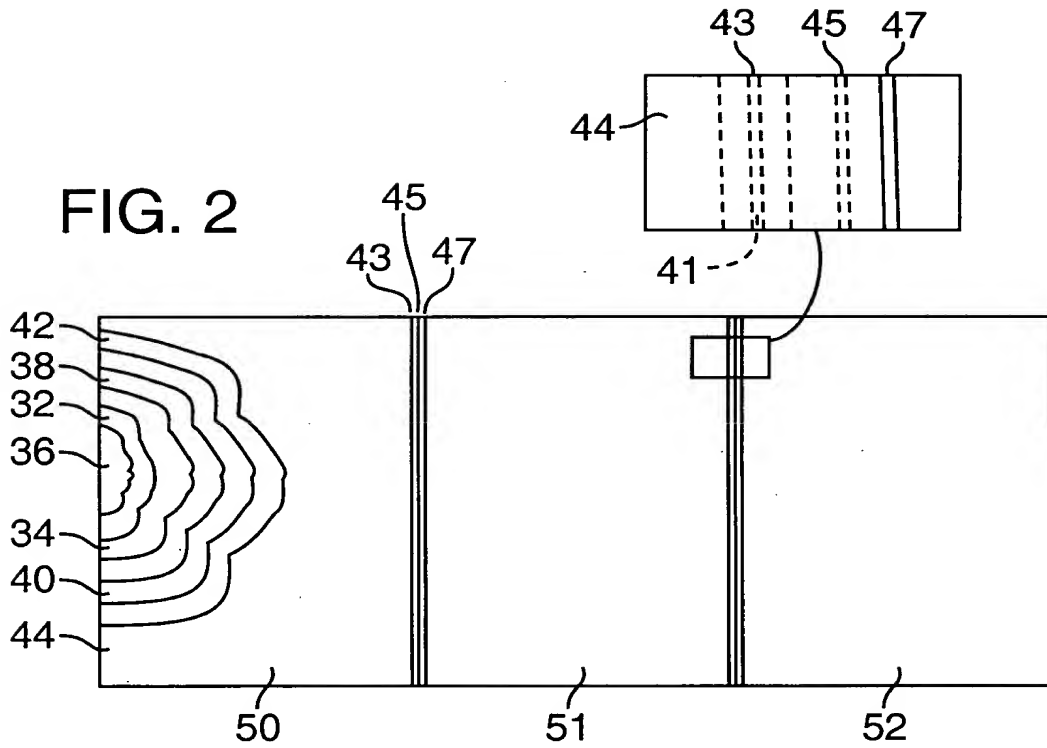


FIG. 3

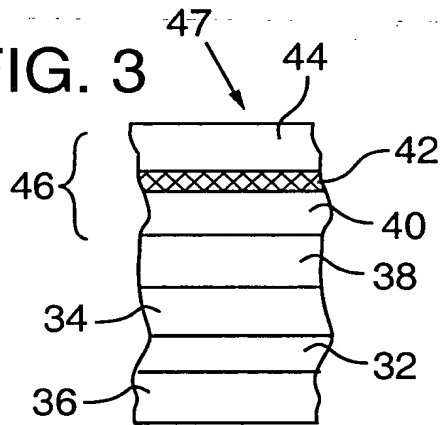


FIG. 4

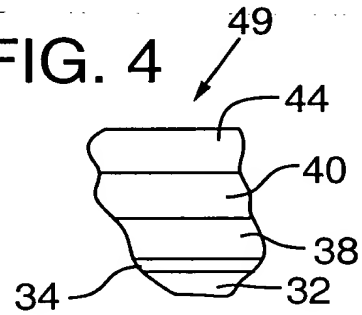
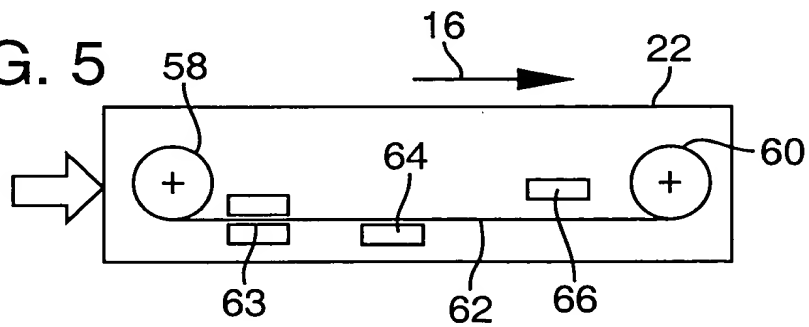
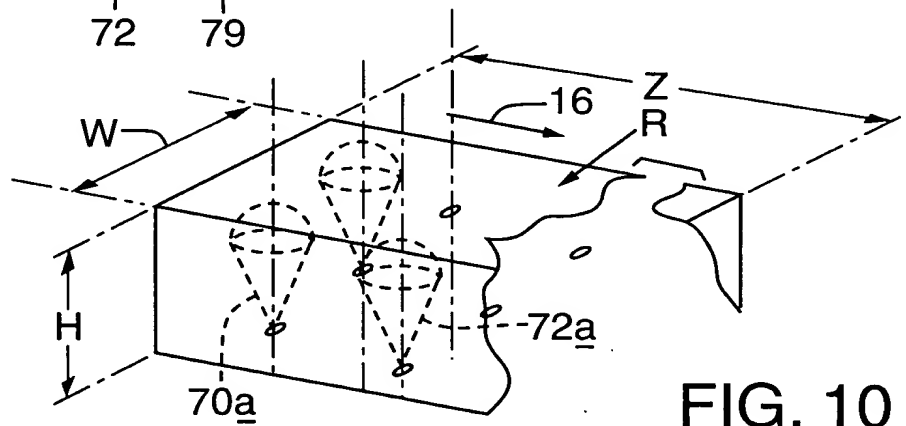
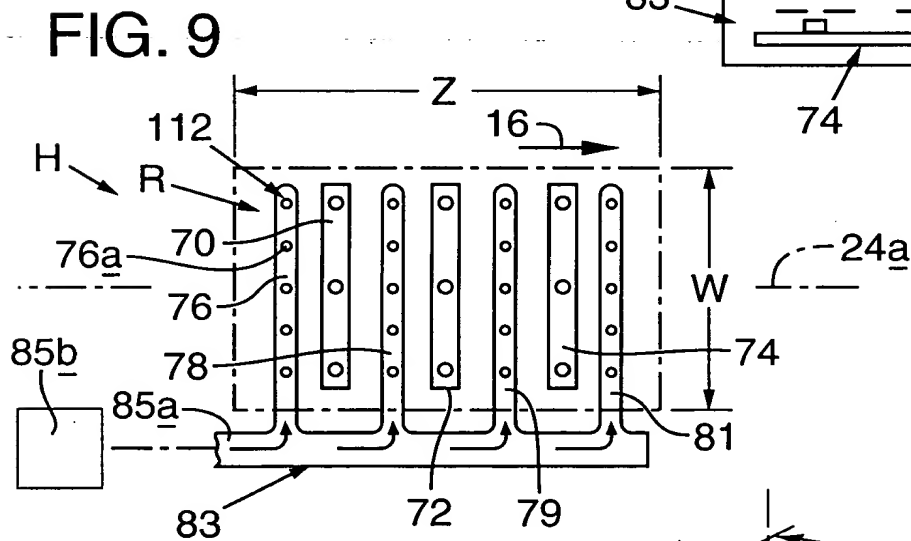
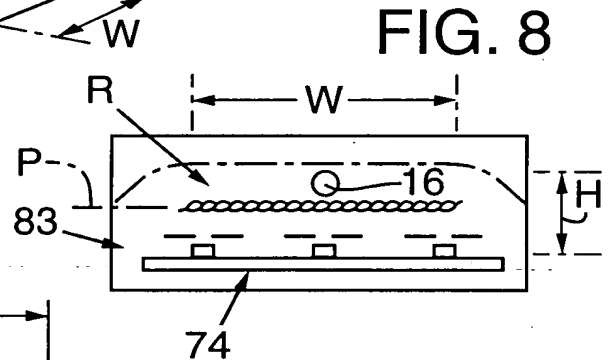
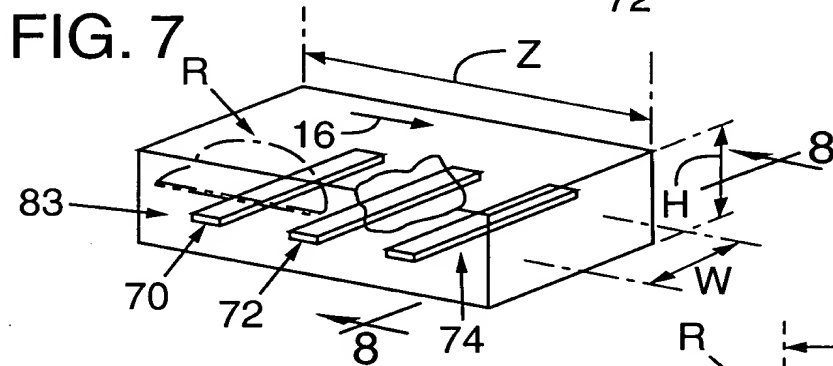
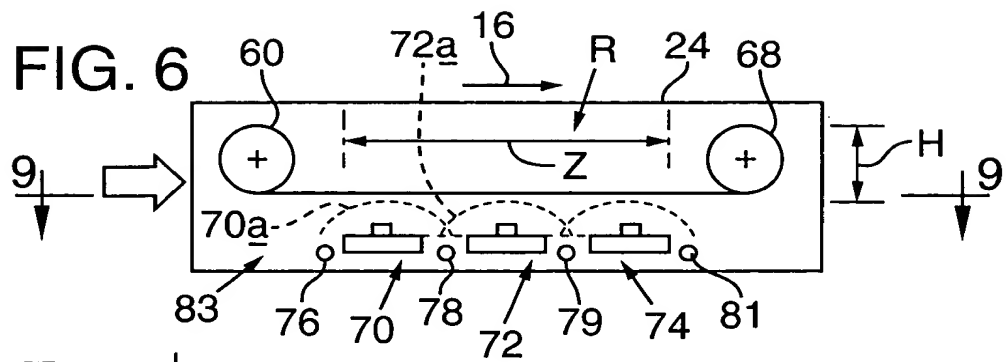


FIG. 5



09643931.07400



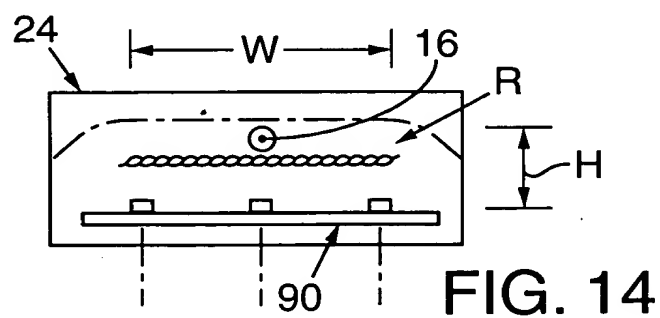
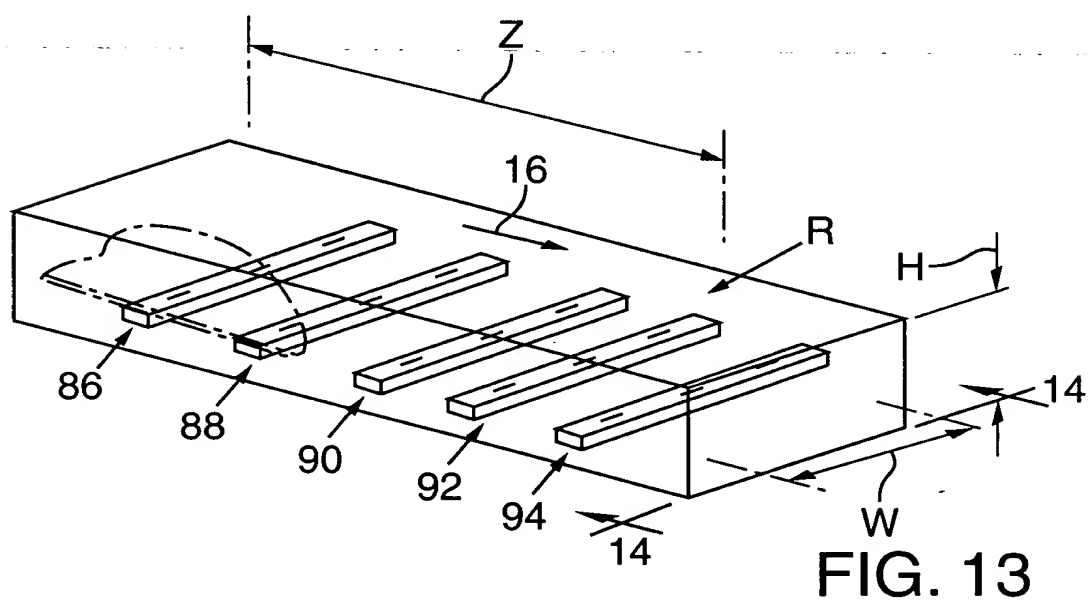
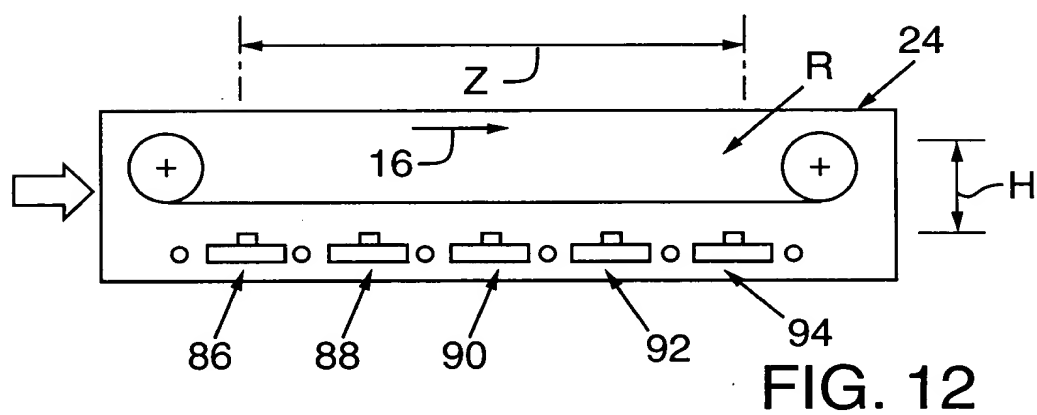
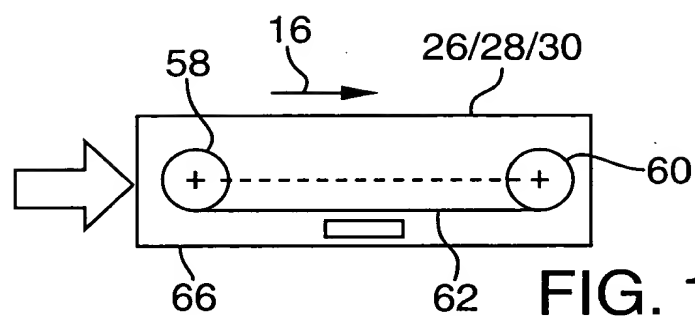


FIG. 15

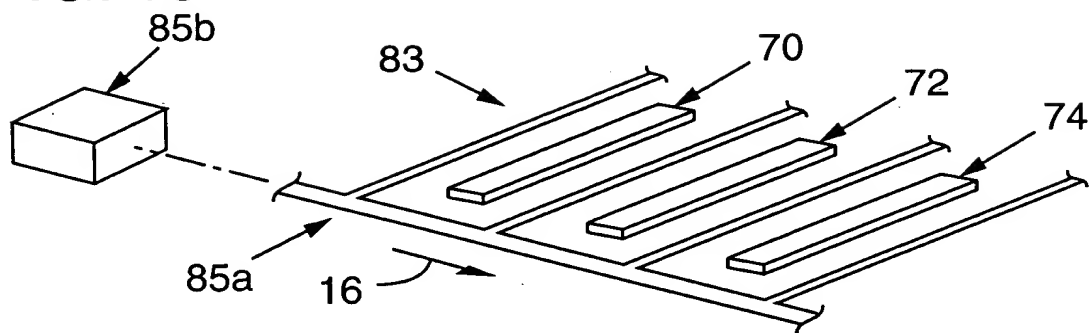


FIG. 16

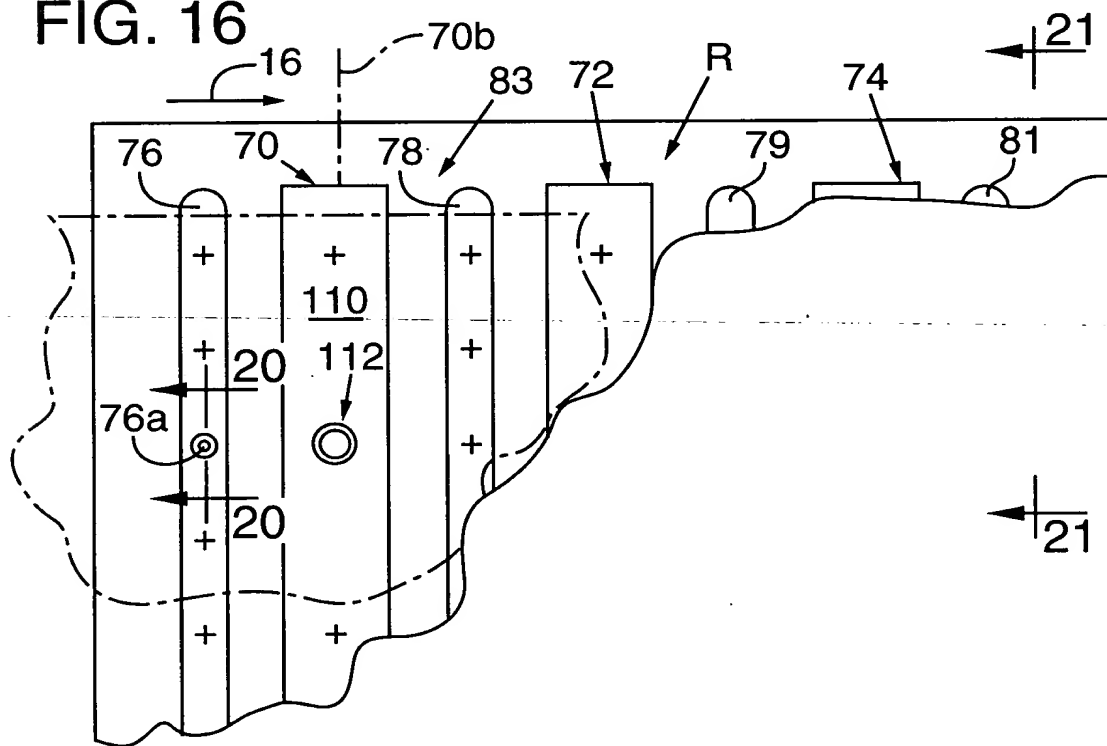


FIG. 21

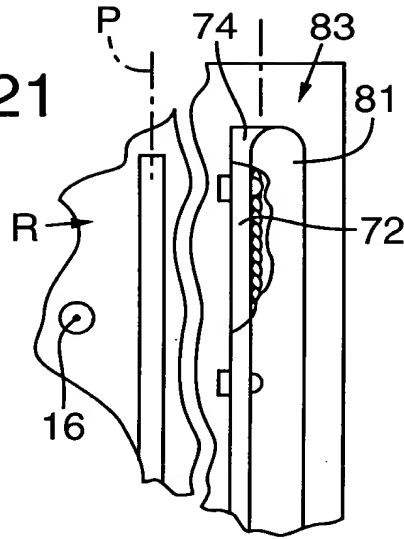


FIG. 22

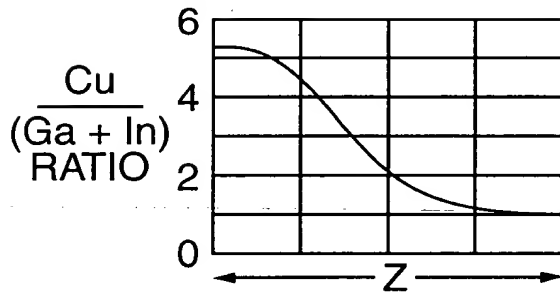


FIG. 23

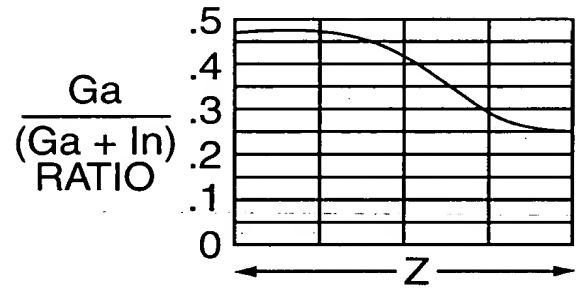


FIG. 27

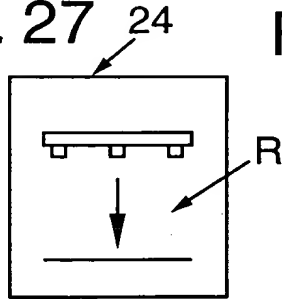


FIG. 28

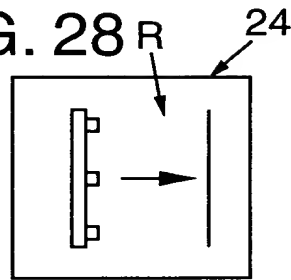


FIG. 29

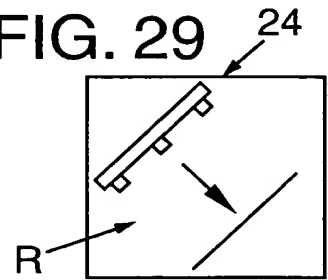


FIG. 30

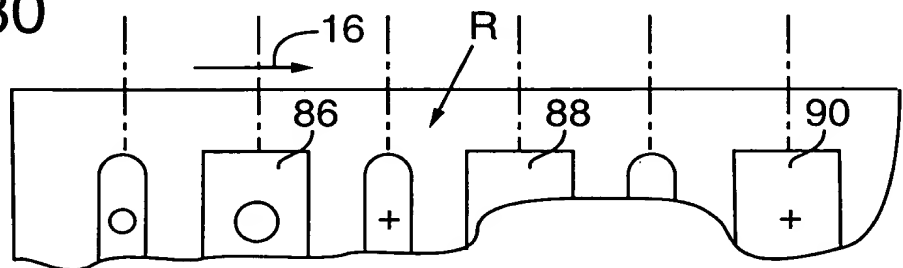


FIG. 24

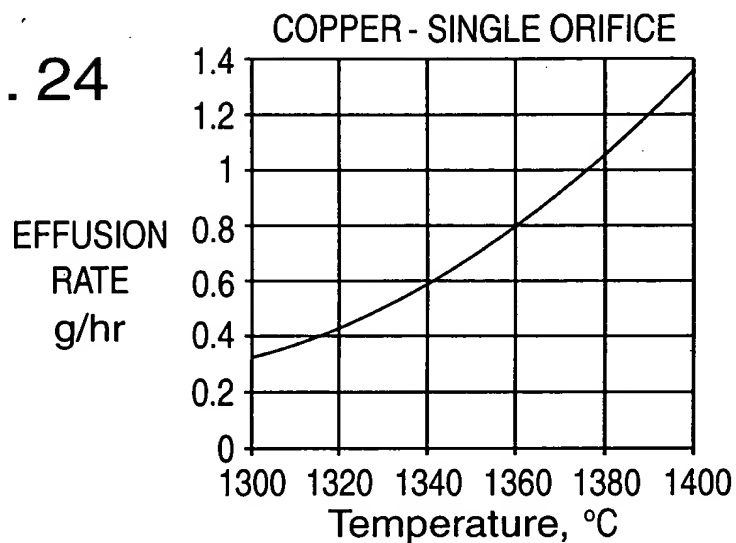


FIG. 25

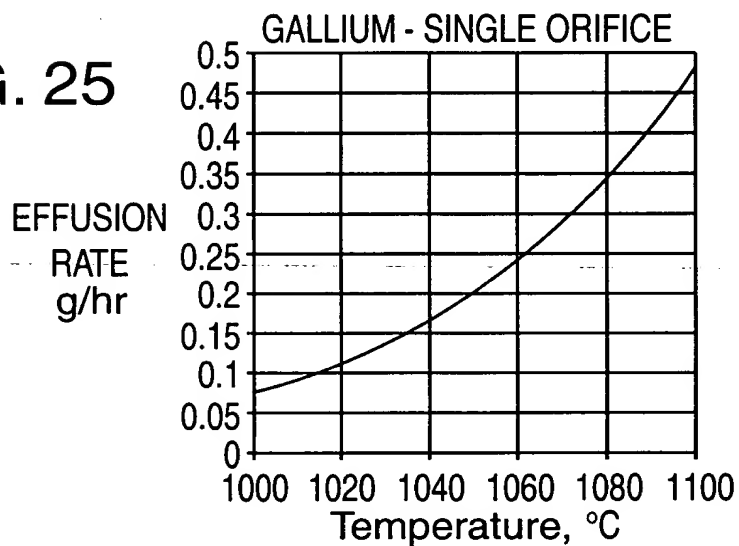
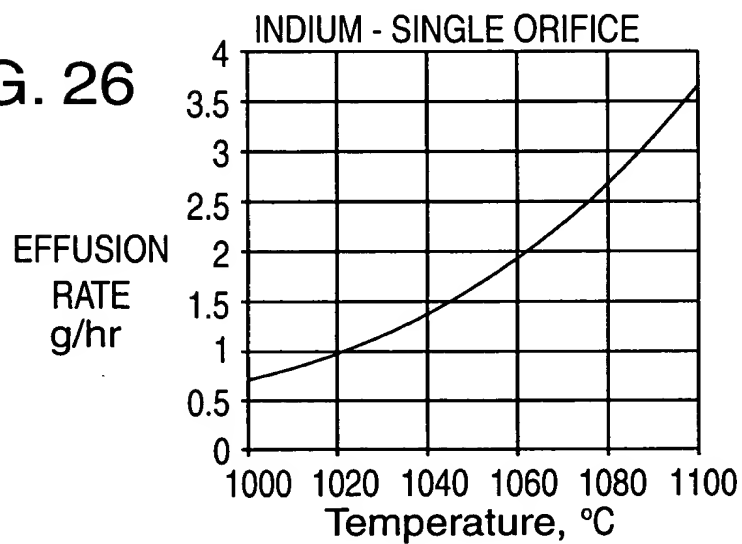


FIG. 26



09613951 074400
001201551050

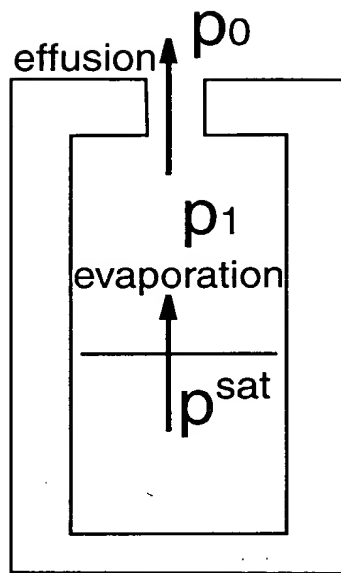


FIG. 31

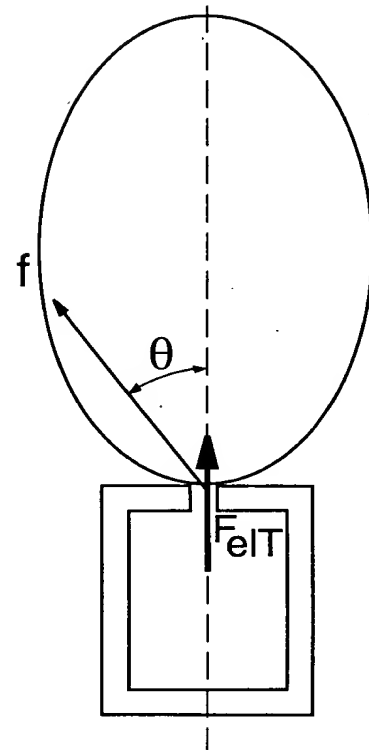


FIG. 32

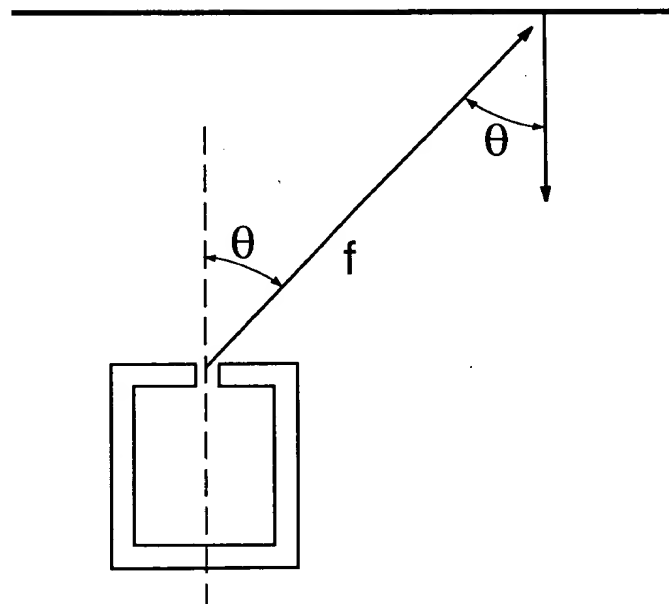


FIG. 33

Comparison of transverse thickness profiles
for 2 and 3 orifice sources

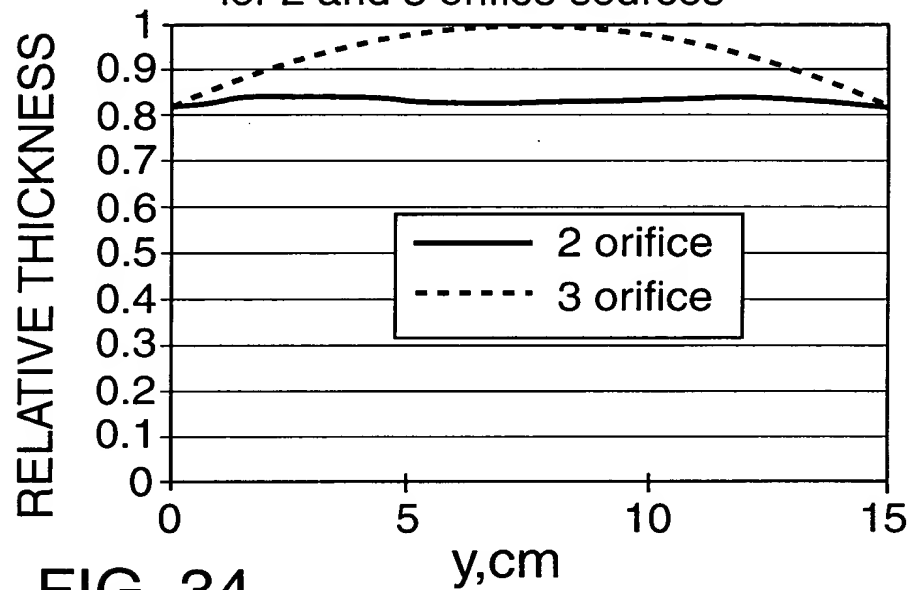


FIG. 34

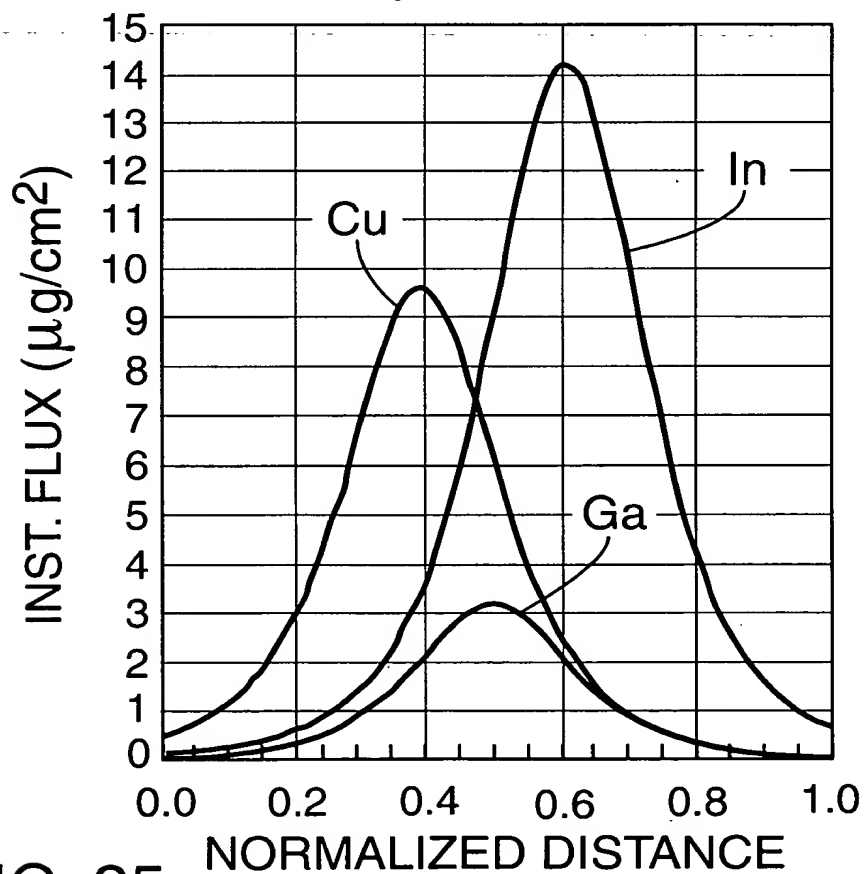


FIG. 35

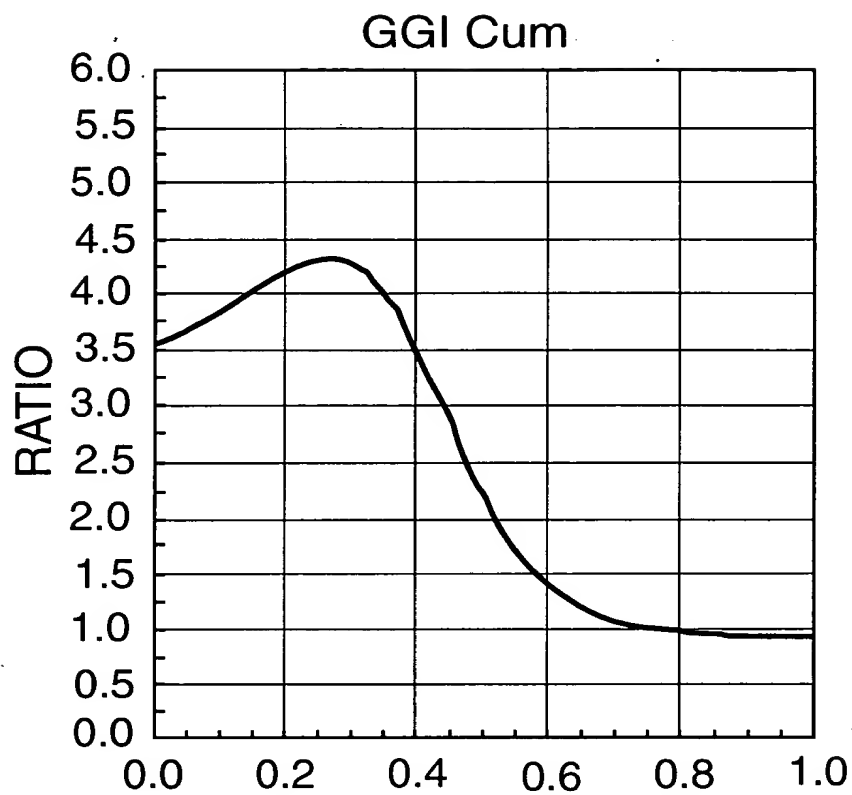


FIG. 36

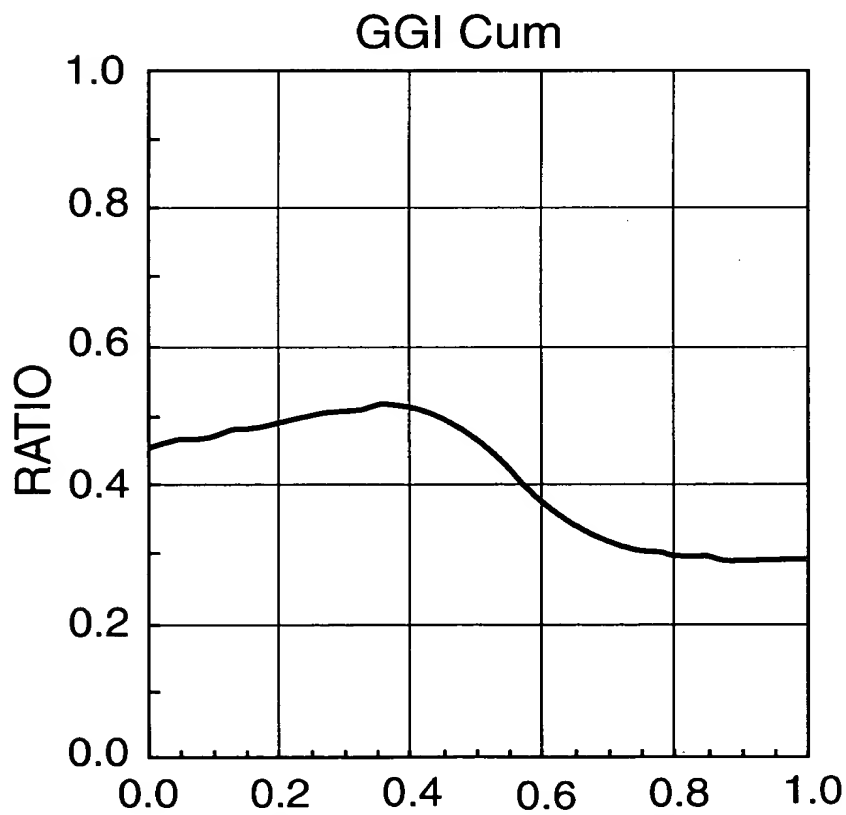


FIG. 37

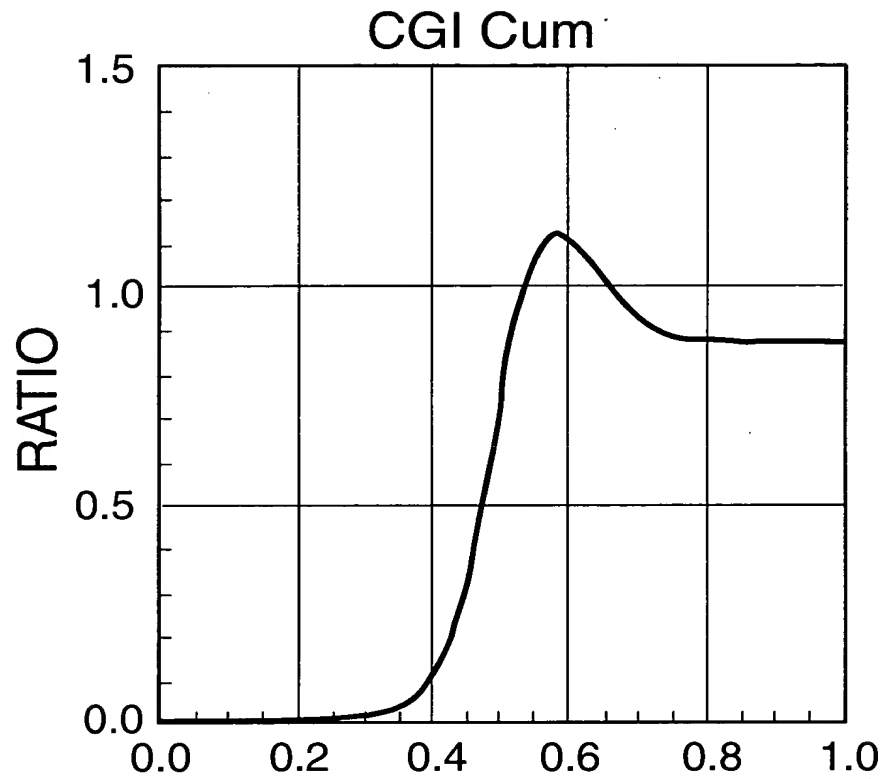


FIG. 38

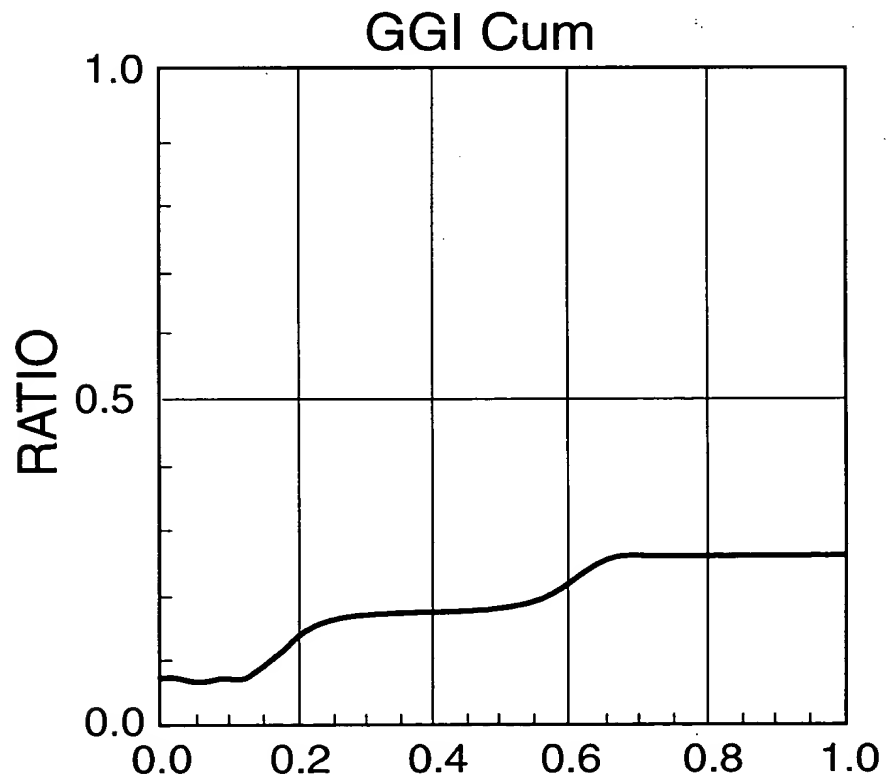


FIG. 39

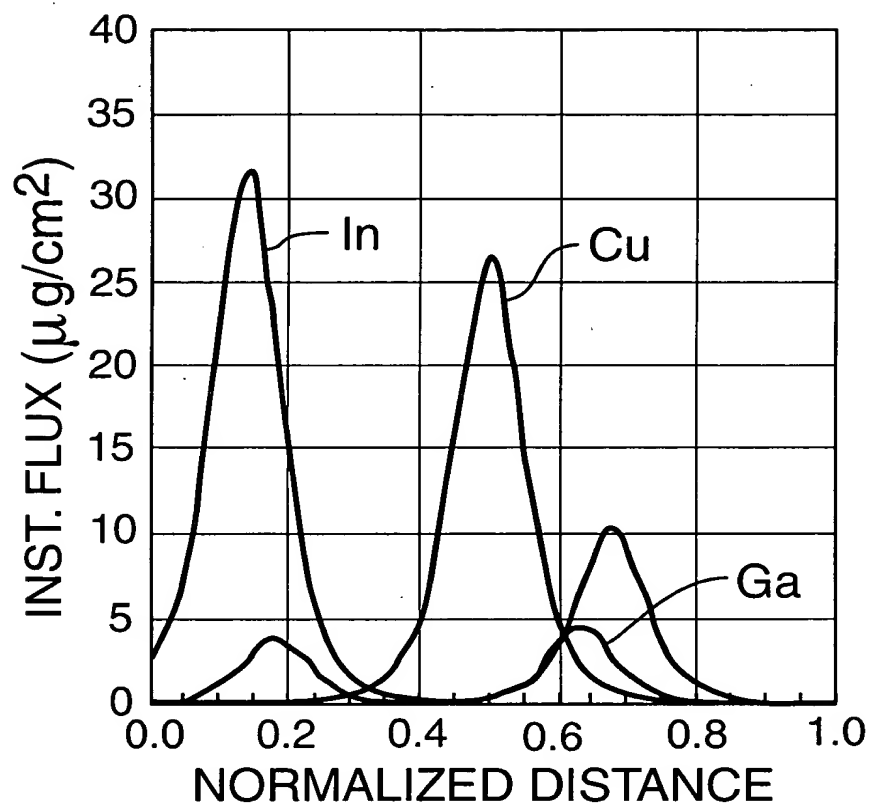


FIG. 40